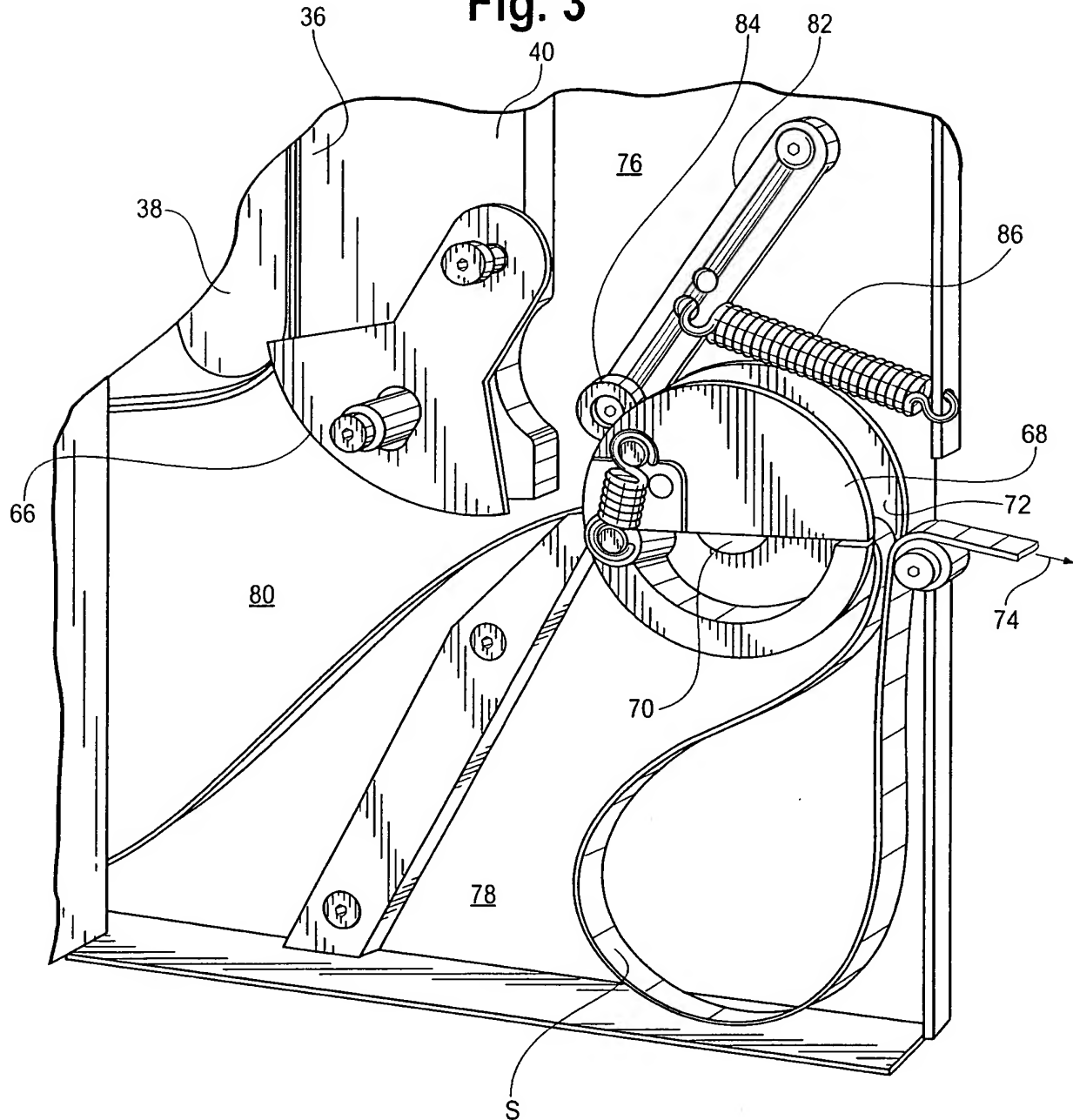


3/21

Fig. 3



4/21

Fig. 4

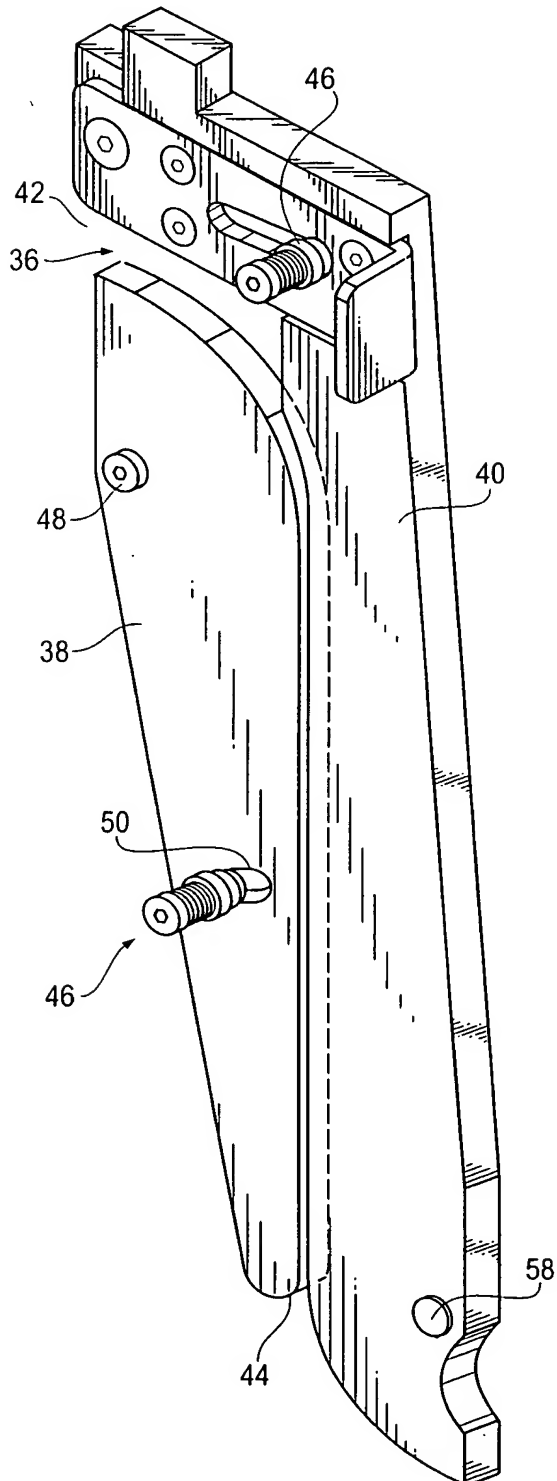


Fig. 5

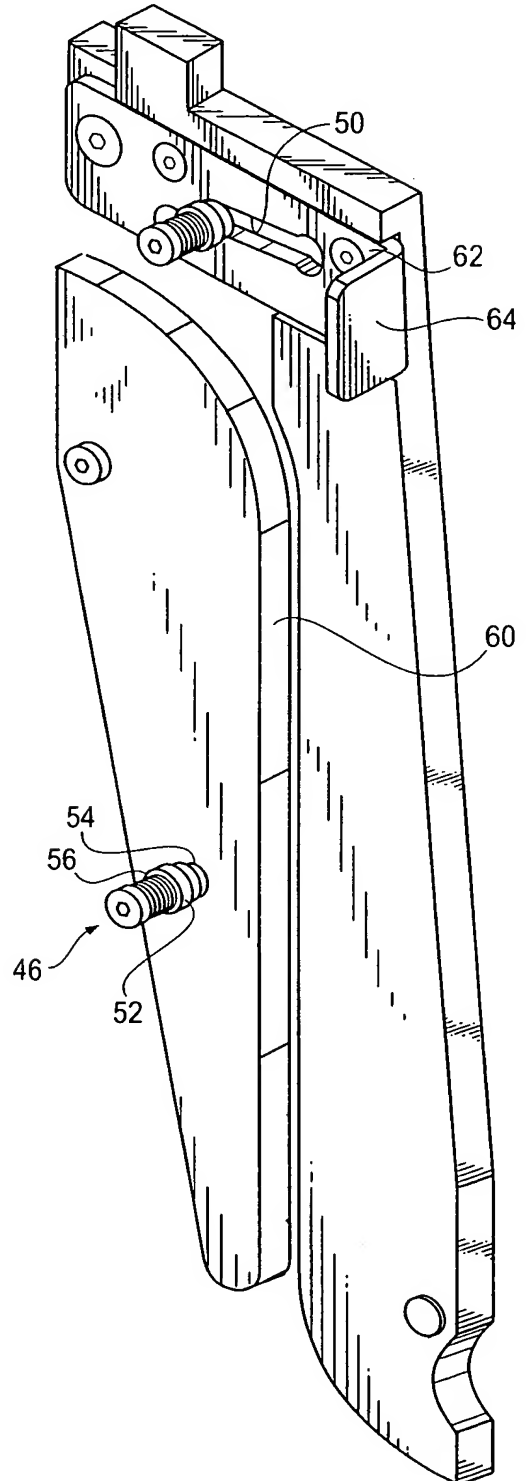


Fig. 6

5/21

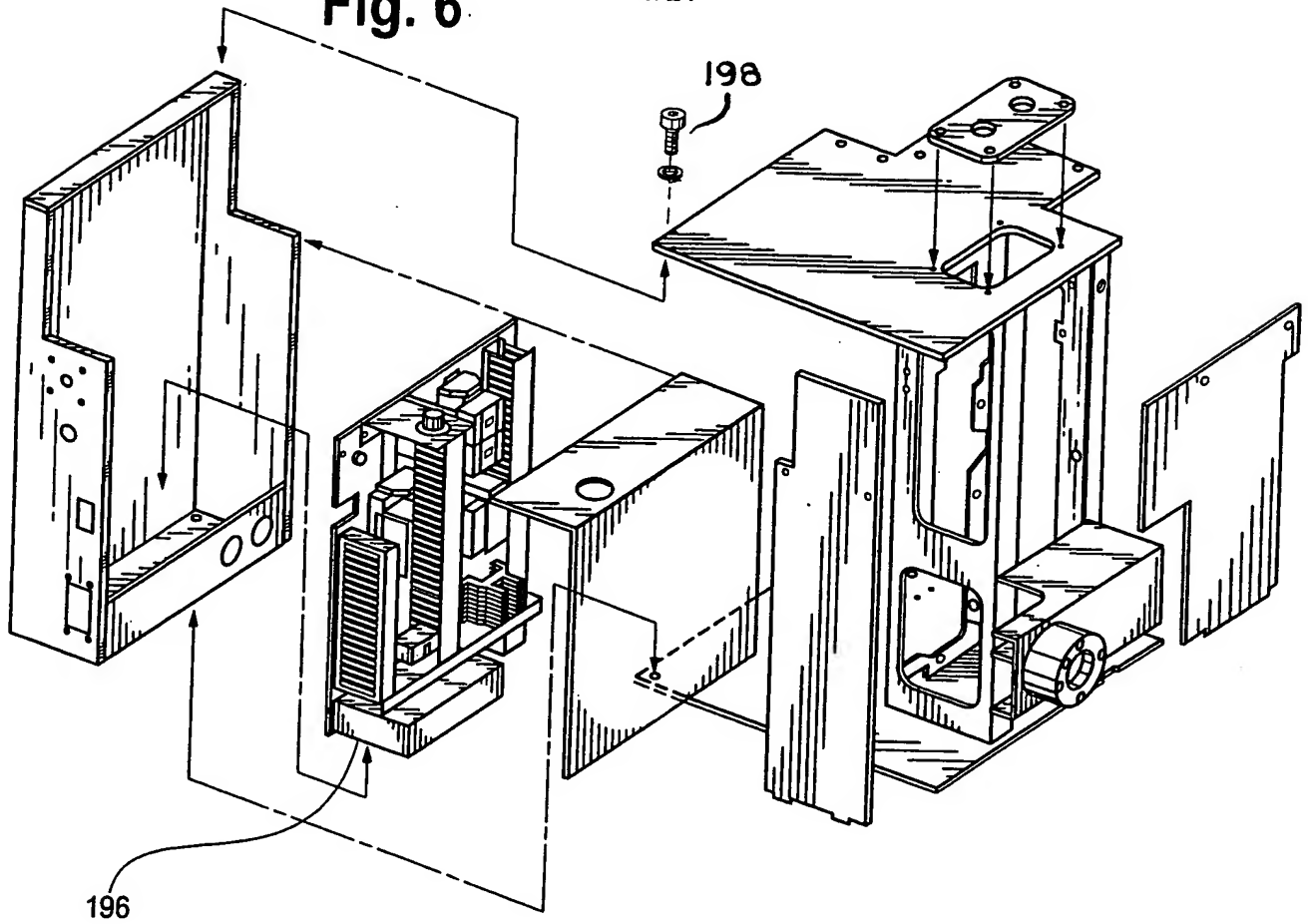
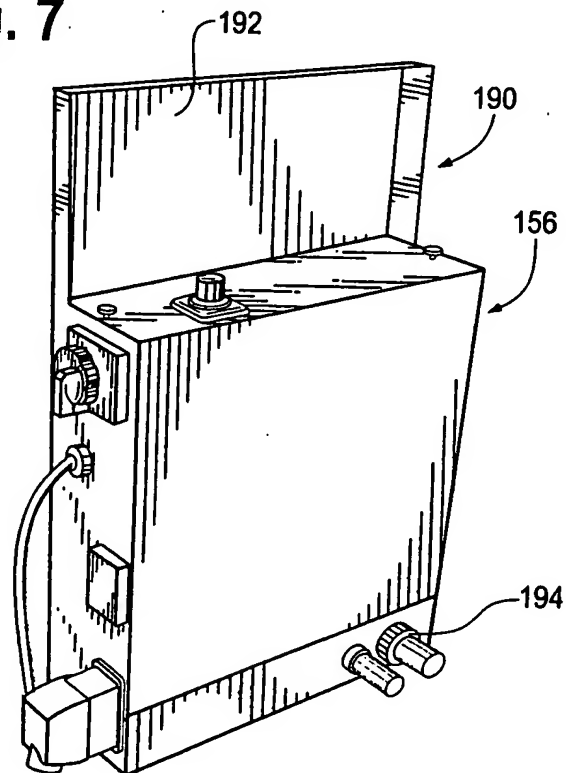


Fig. 7



6/21

Fig. 8

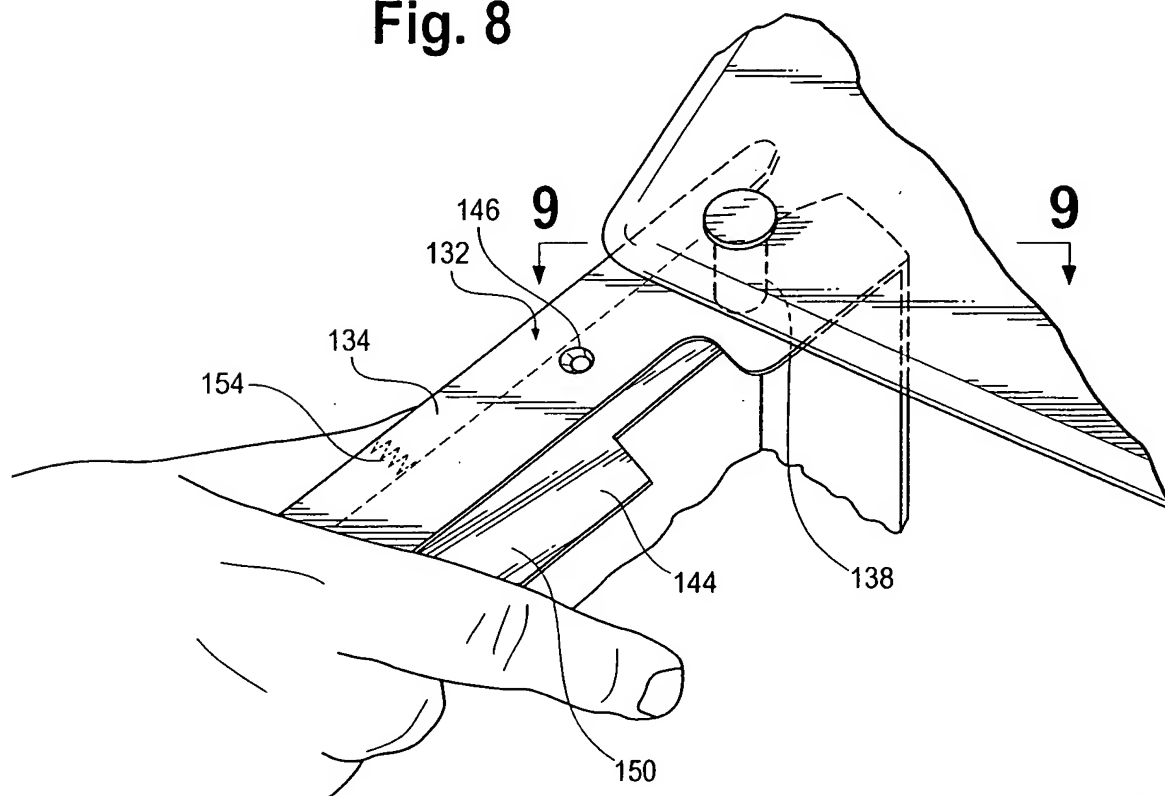
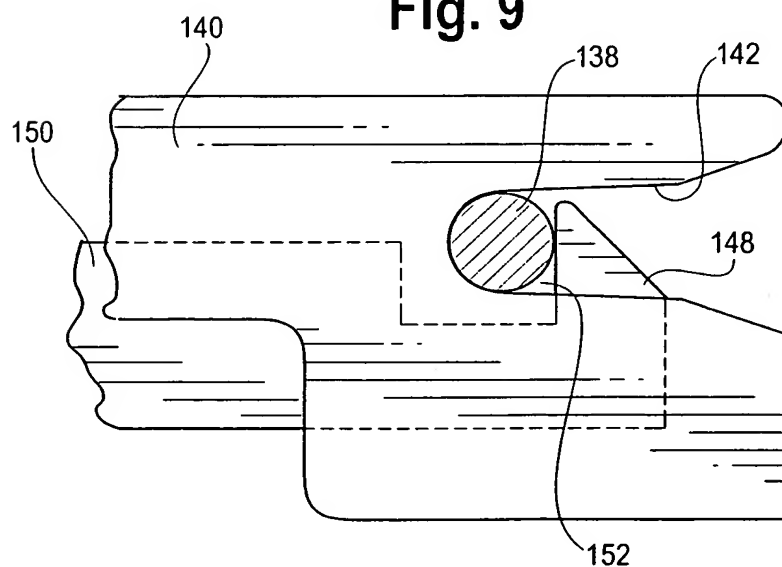


Fig. 9



7/21

Fig. 10

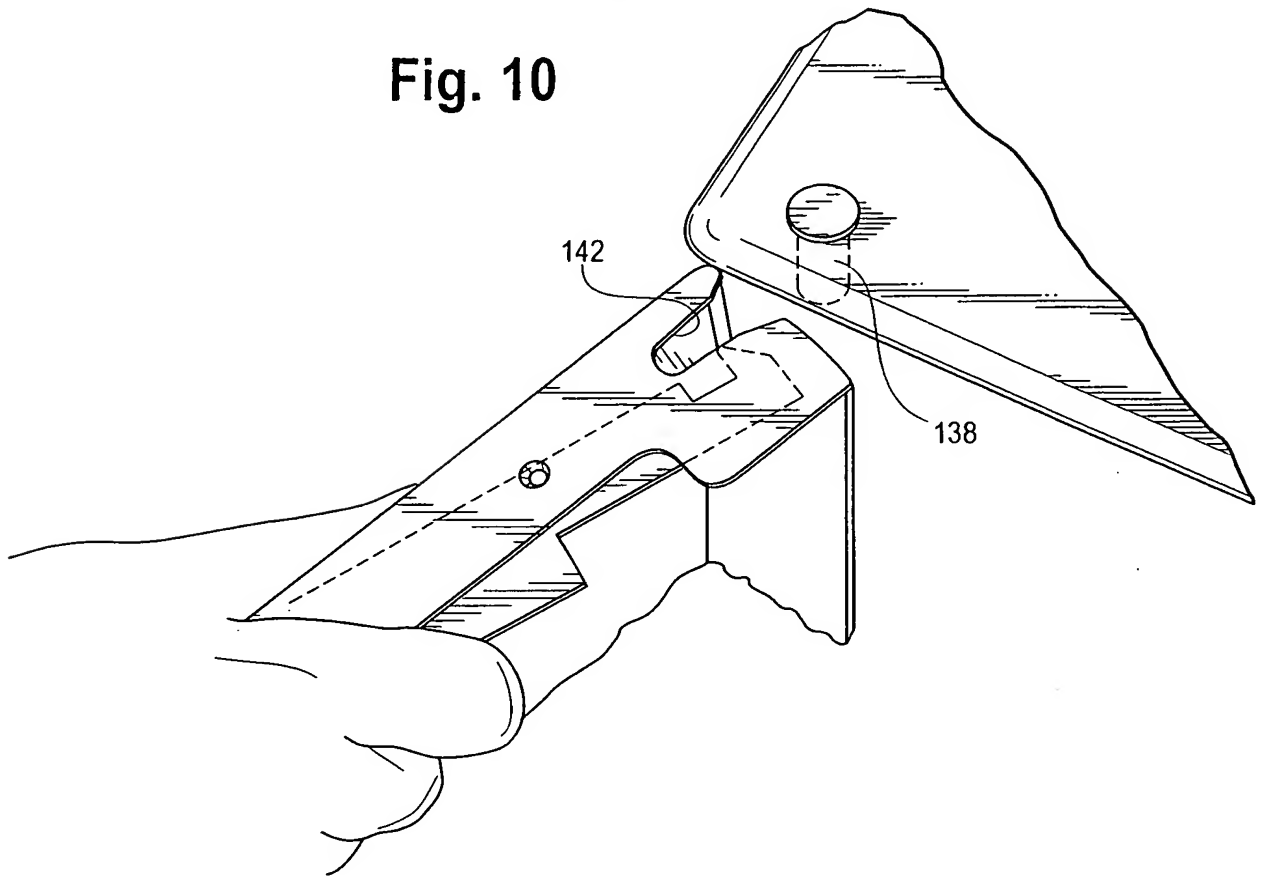
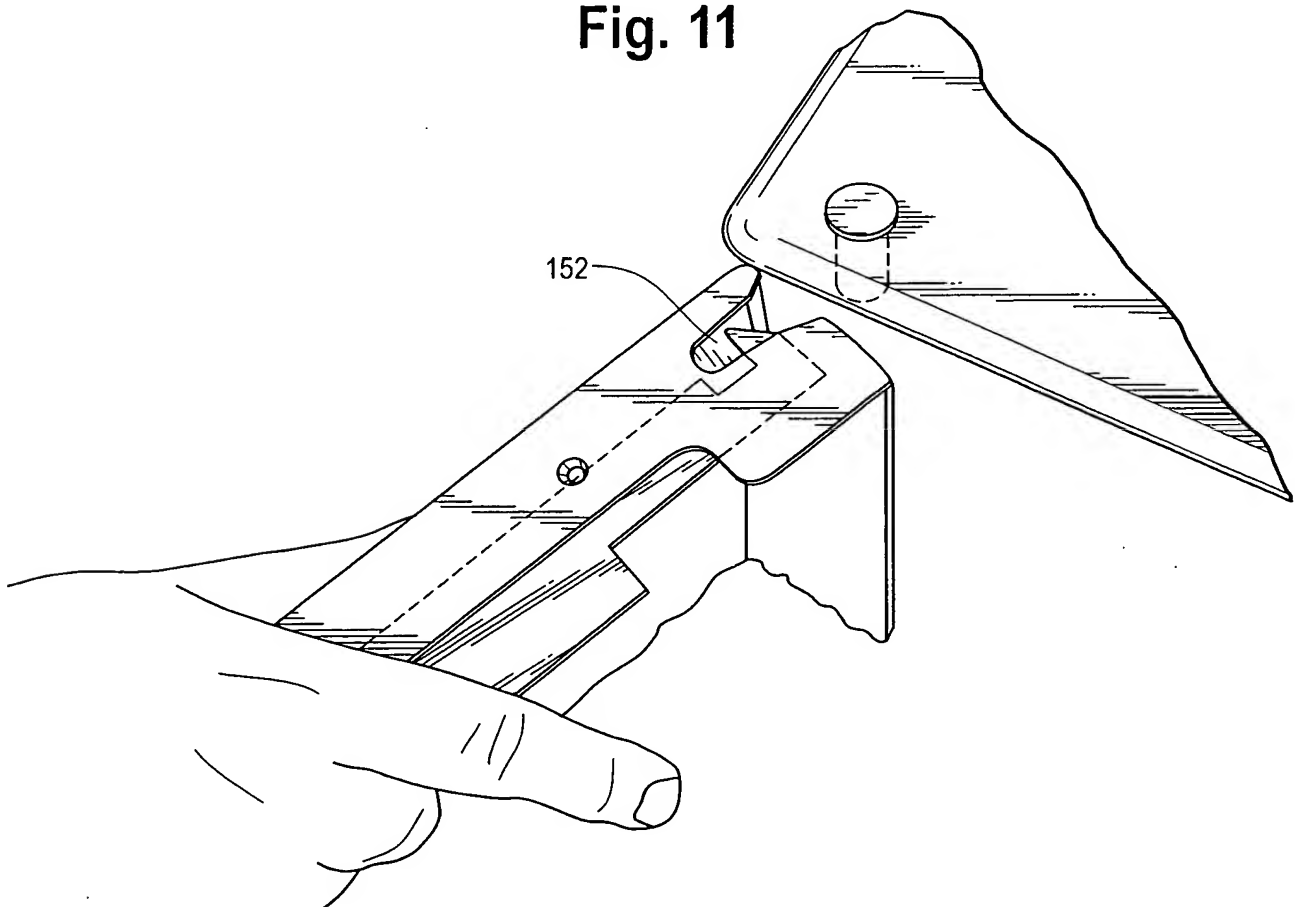


Fig. 11



8/21

Fig. 13

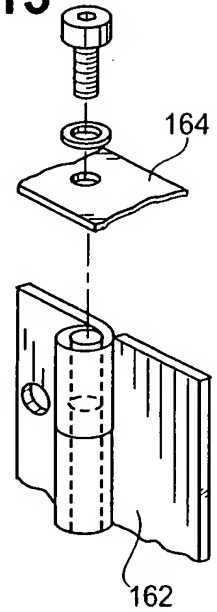


Fig. 12

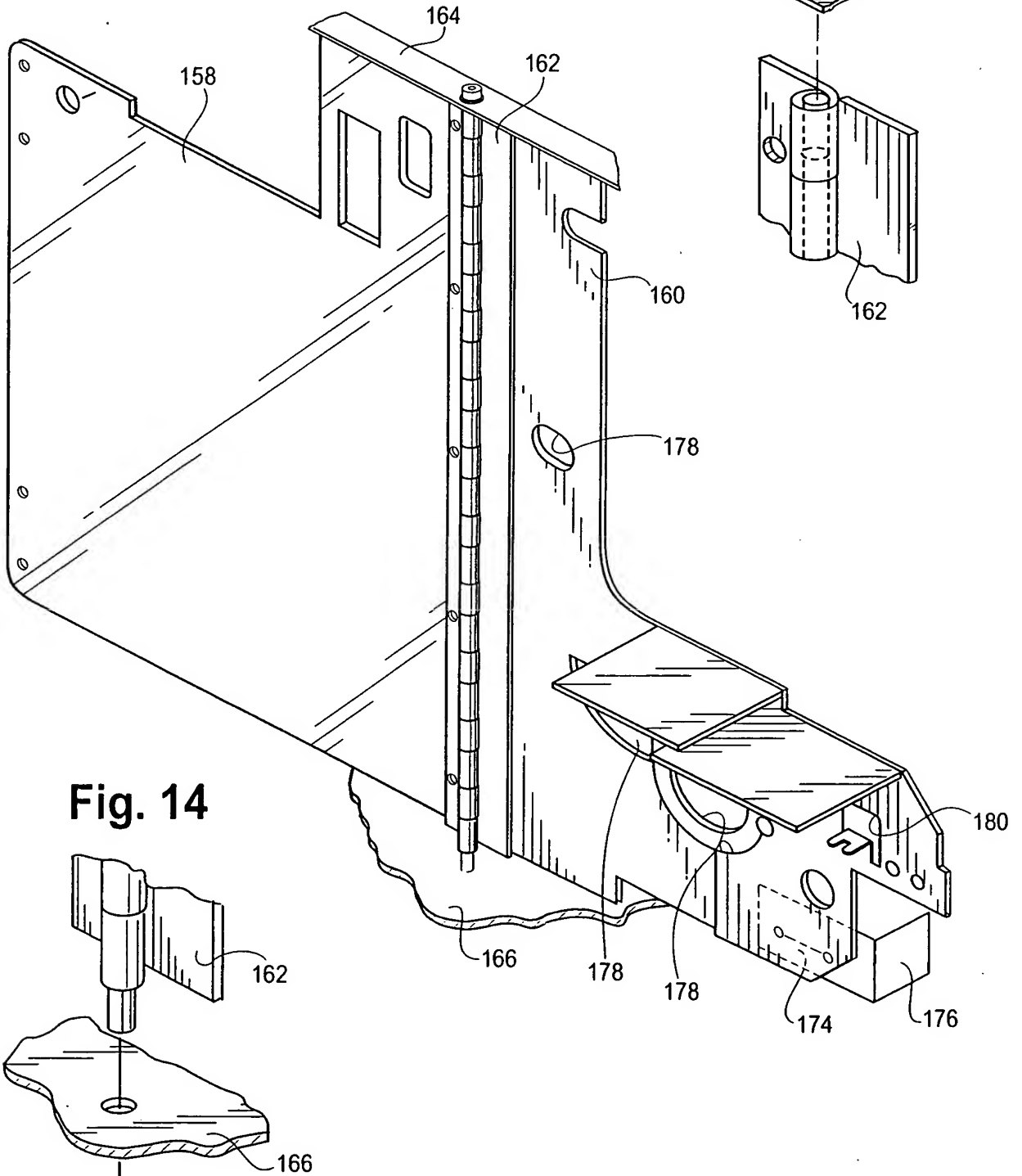
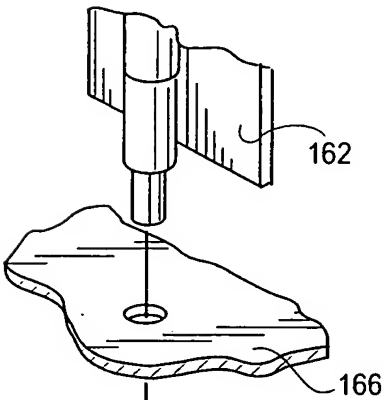
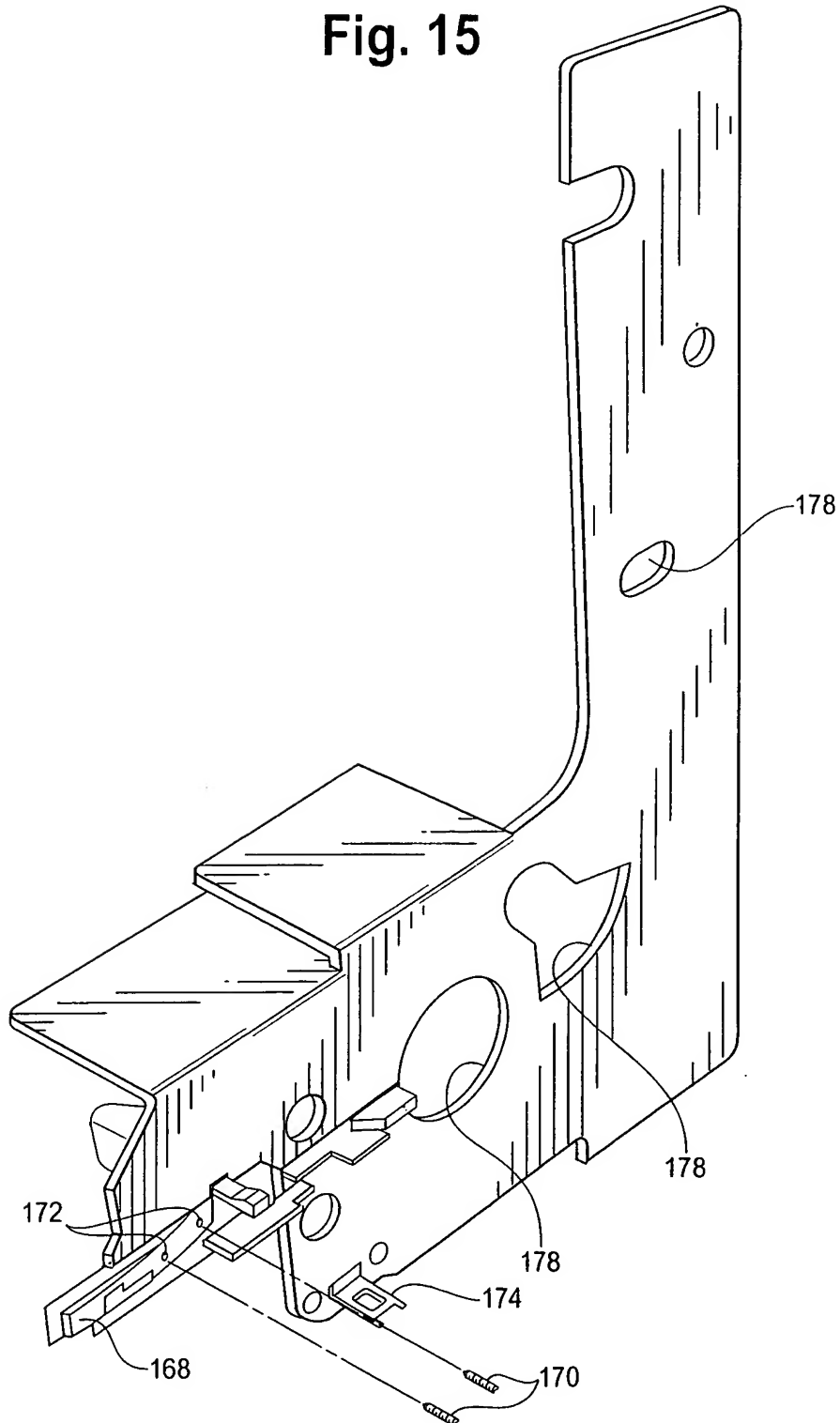


Fig. 14



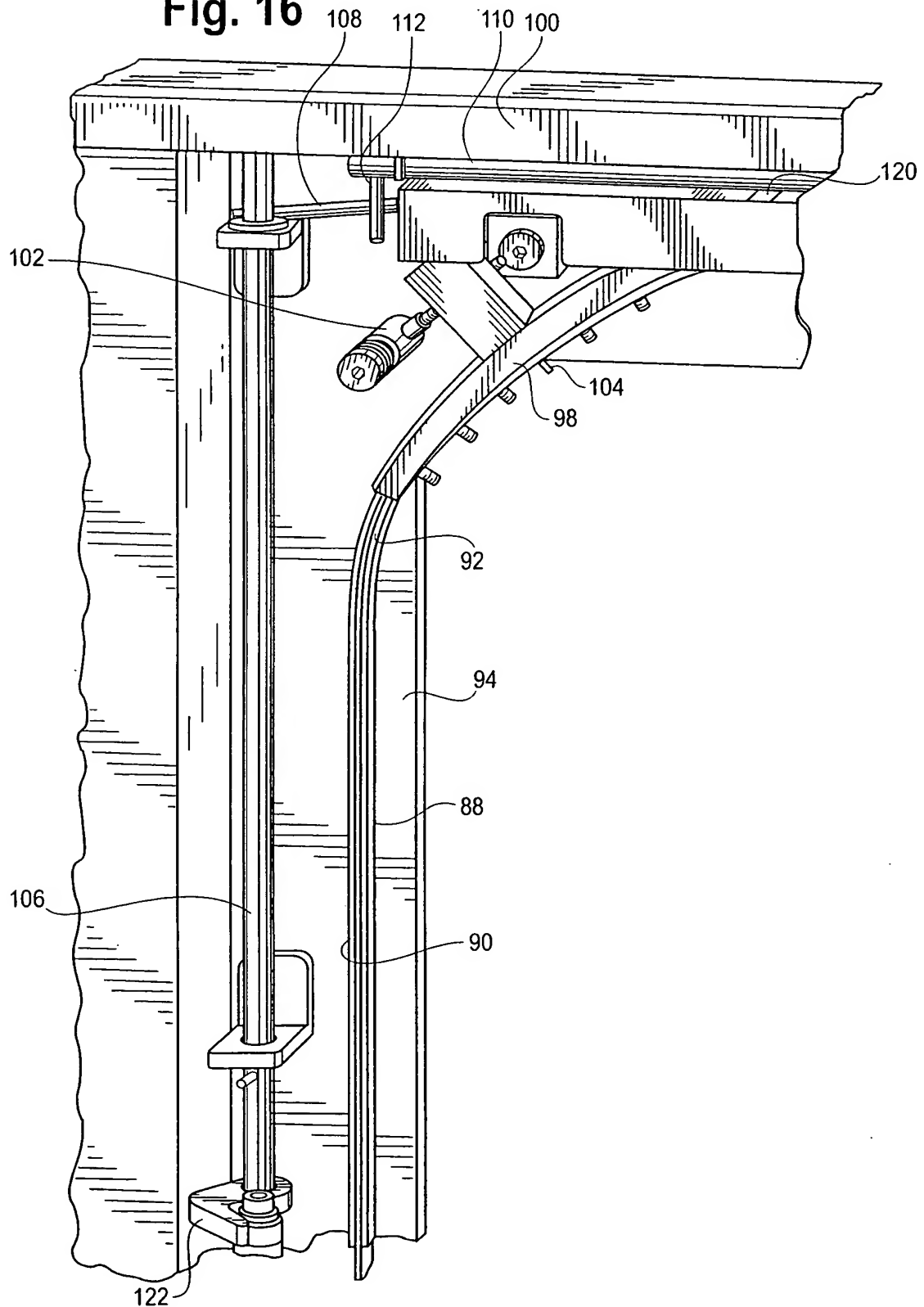
9/21

Fig. 15



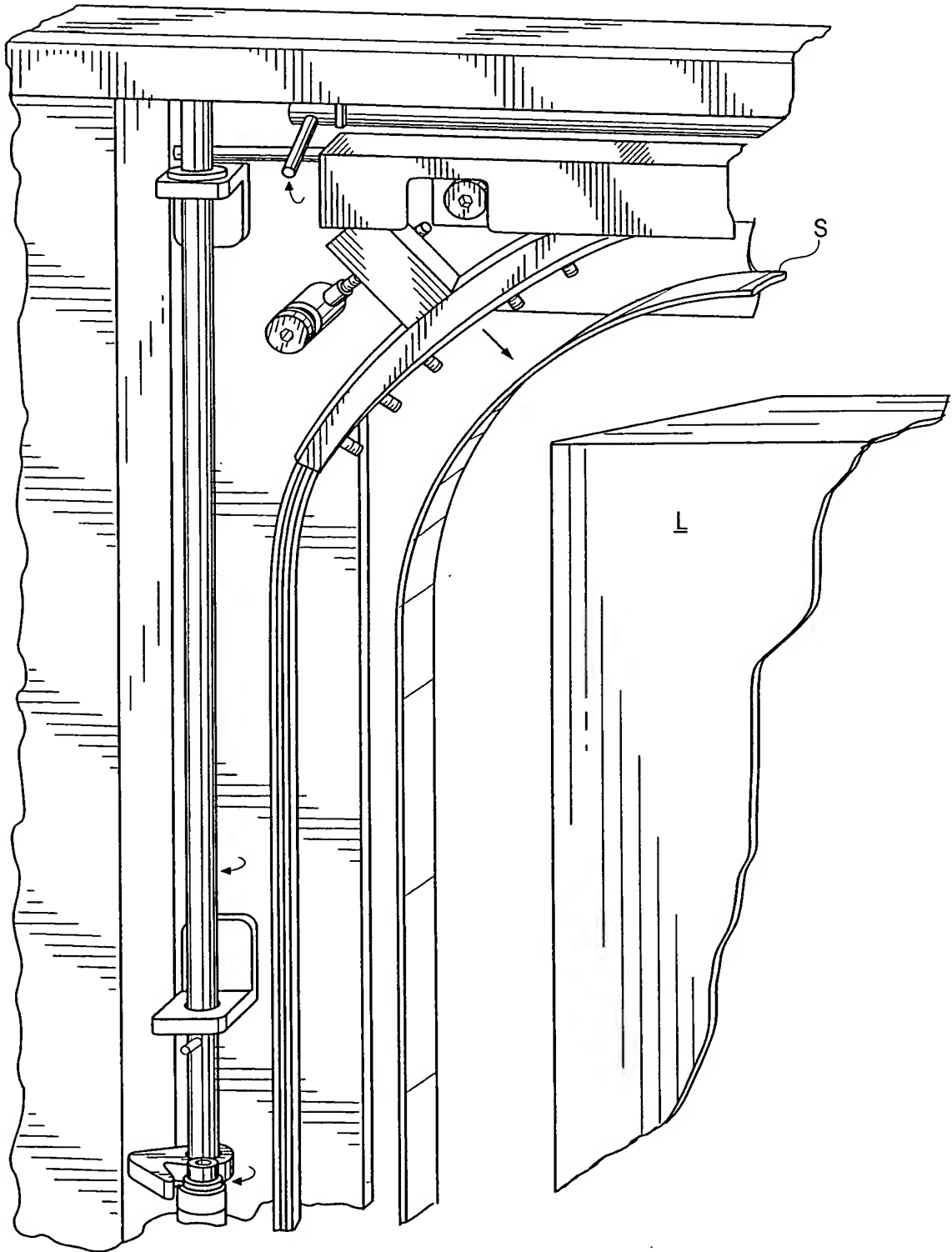
10/21

Fig. 16



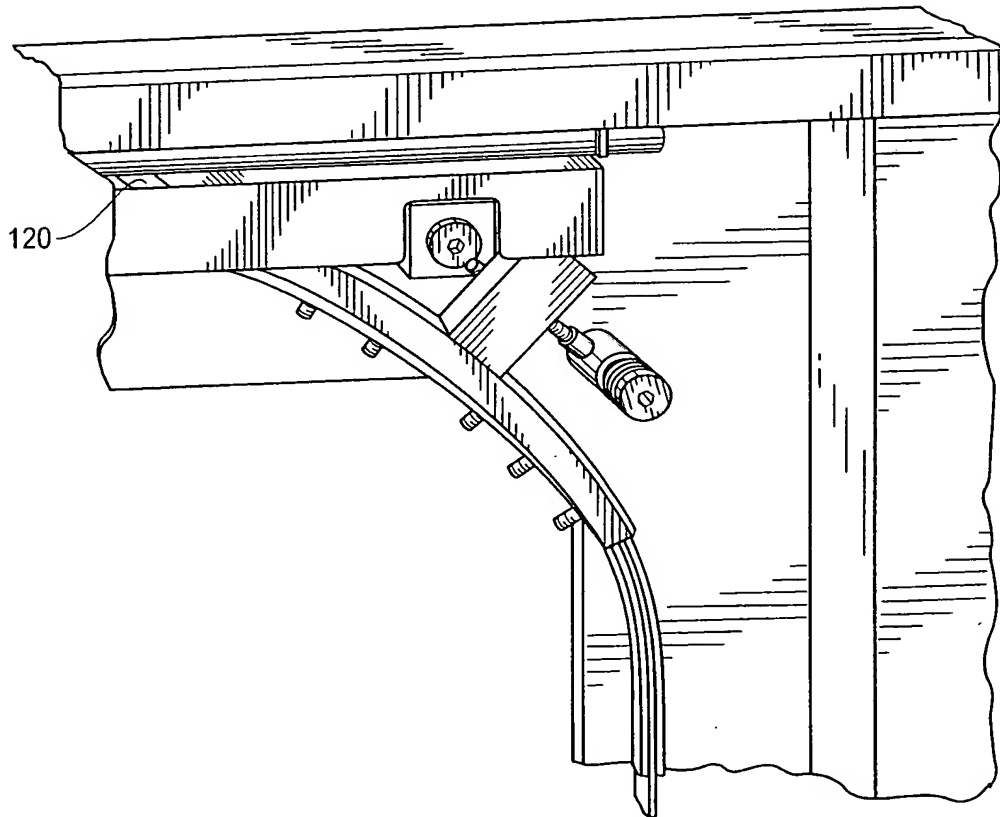
11/21

Fig. 17



12/21

Fig. 18



13/21

Fig. 19

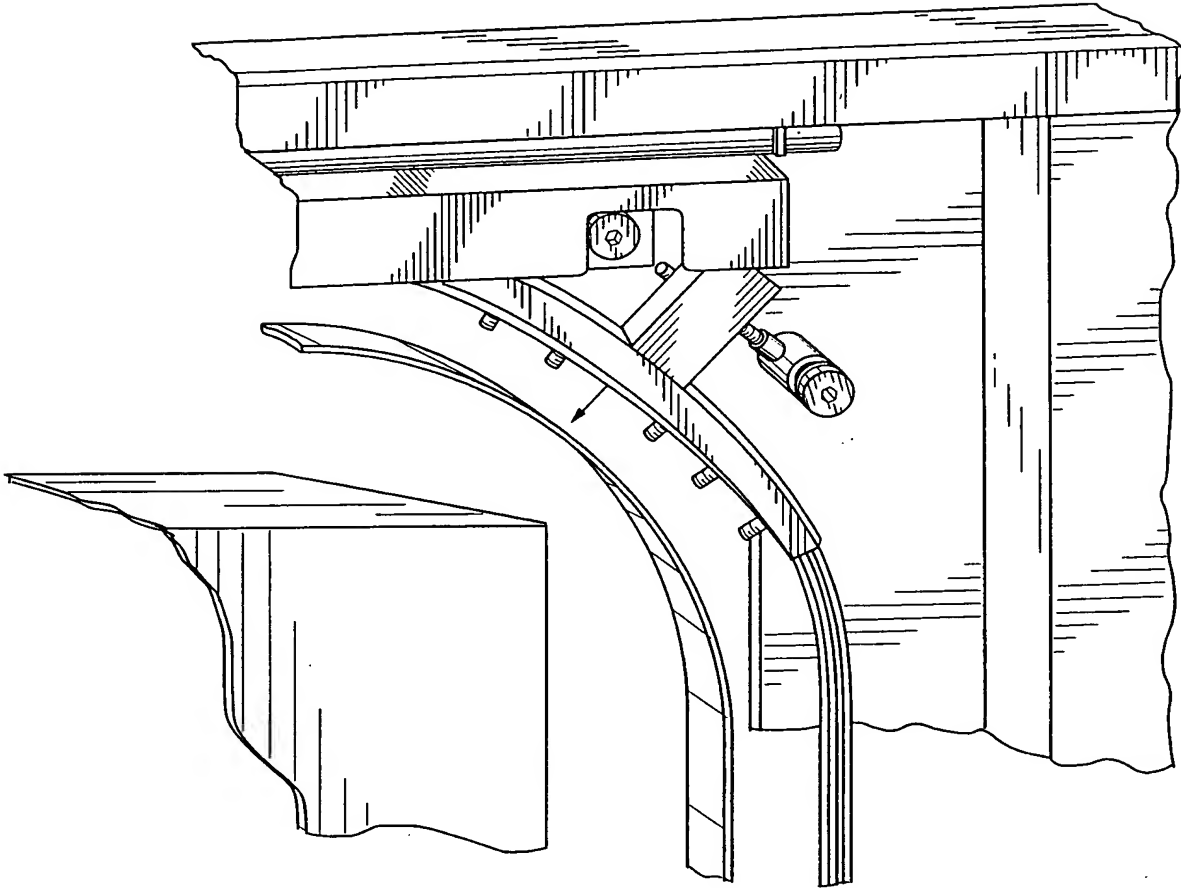
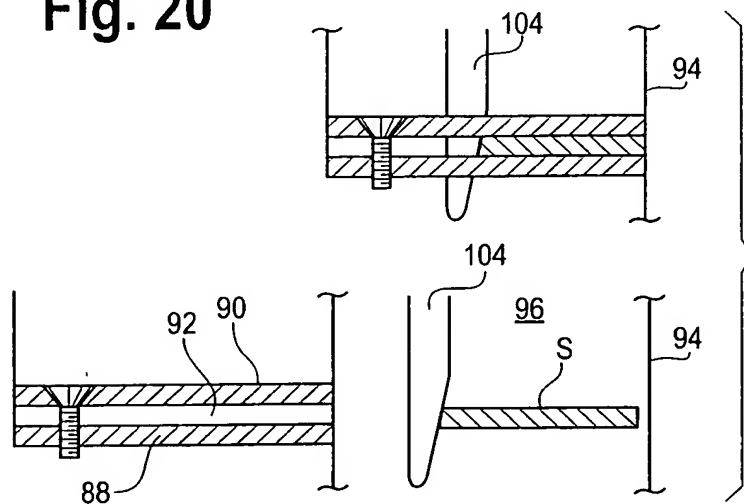
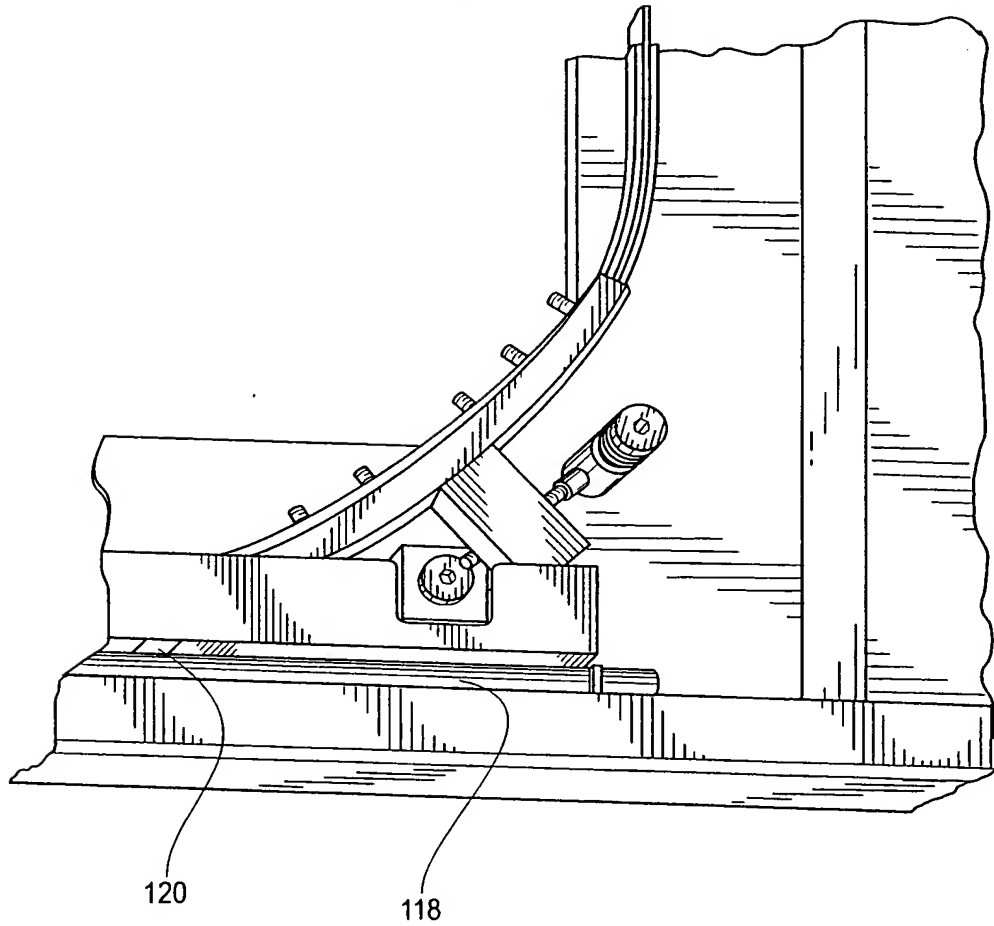


Fig. 20



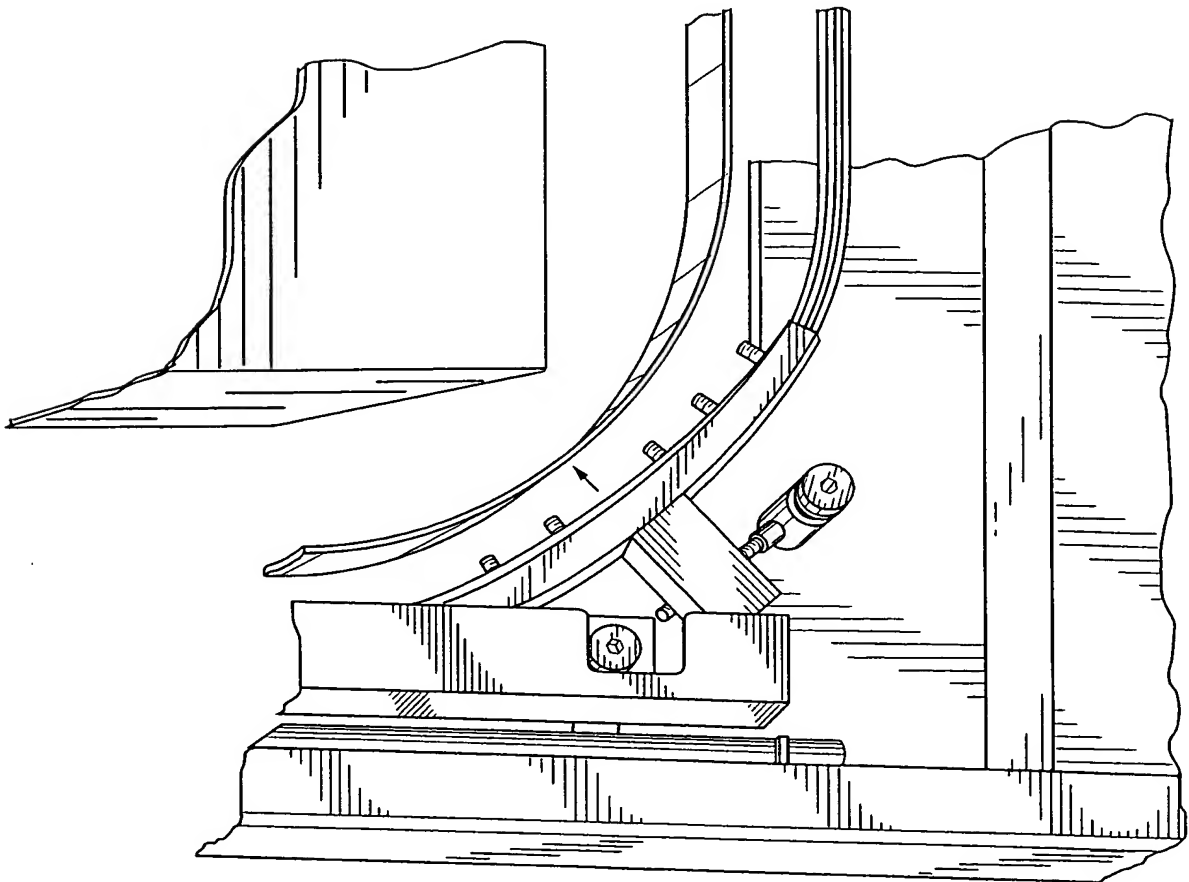
14/21

Fig. 21



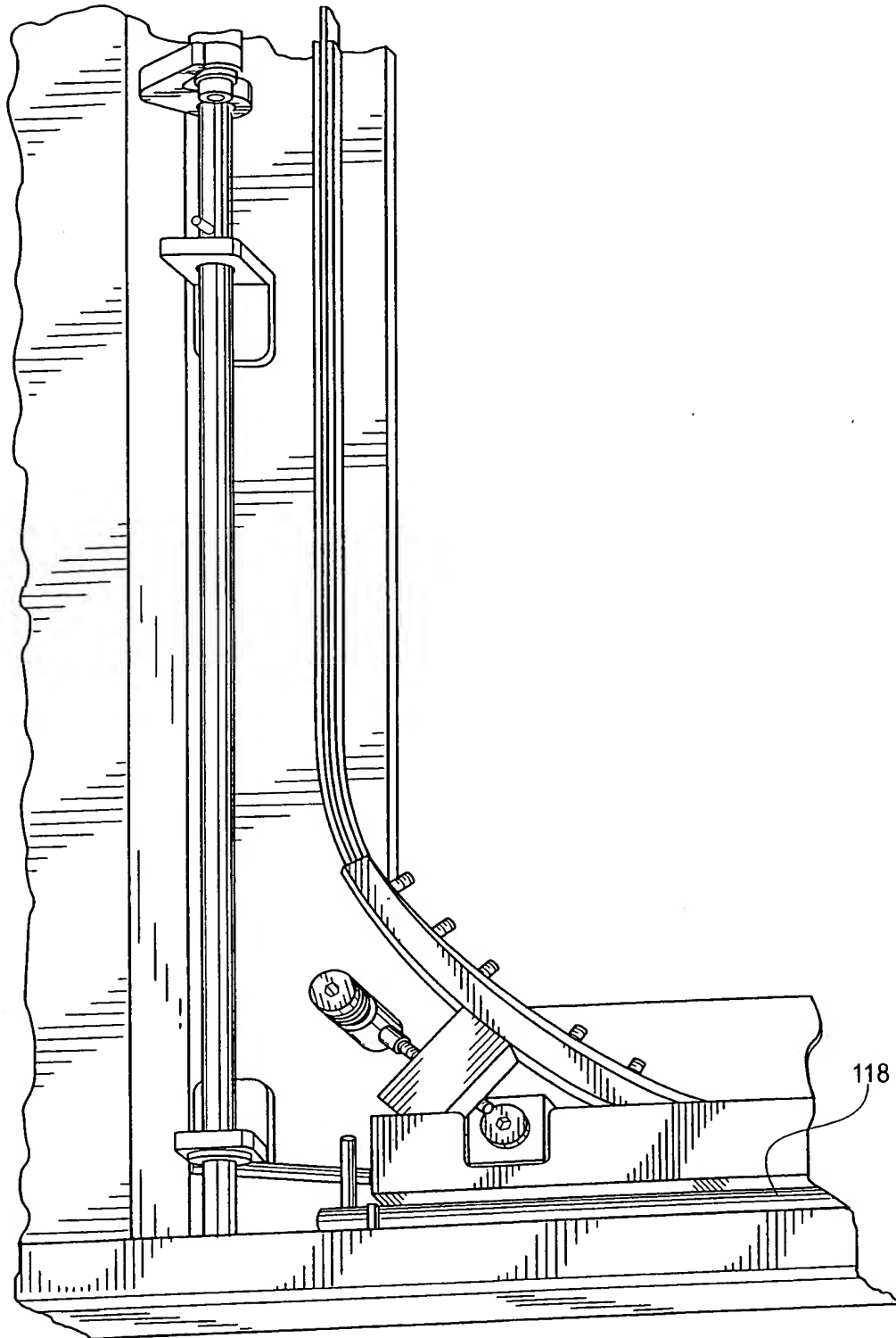
15/21

Fig. 22



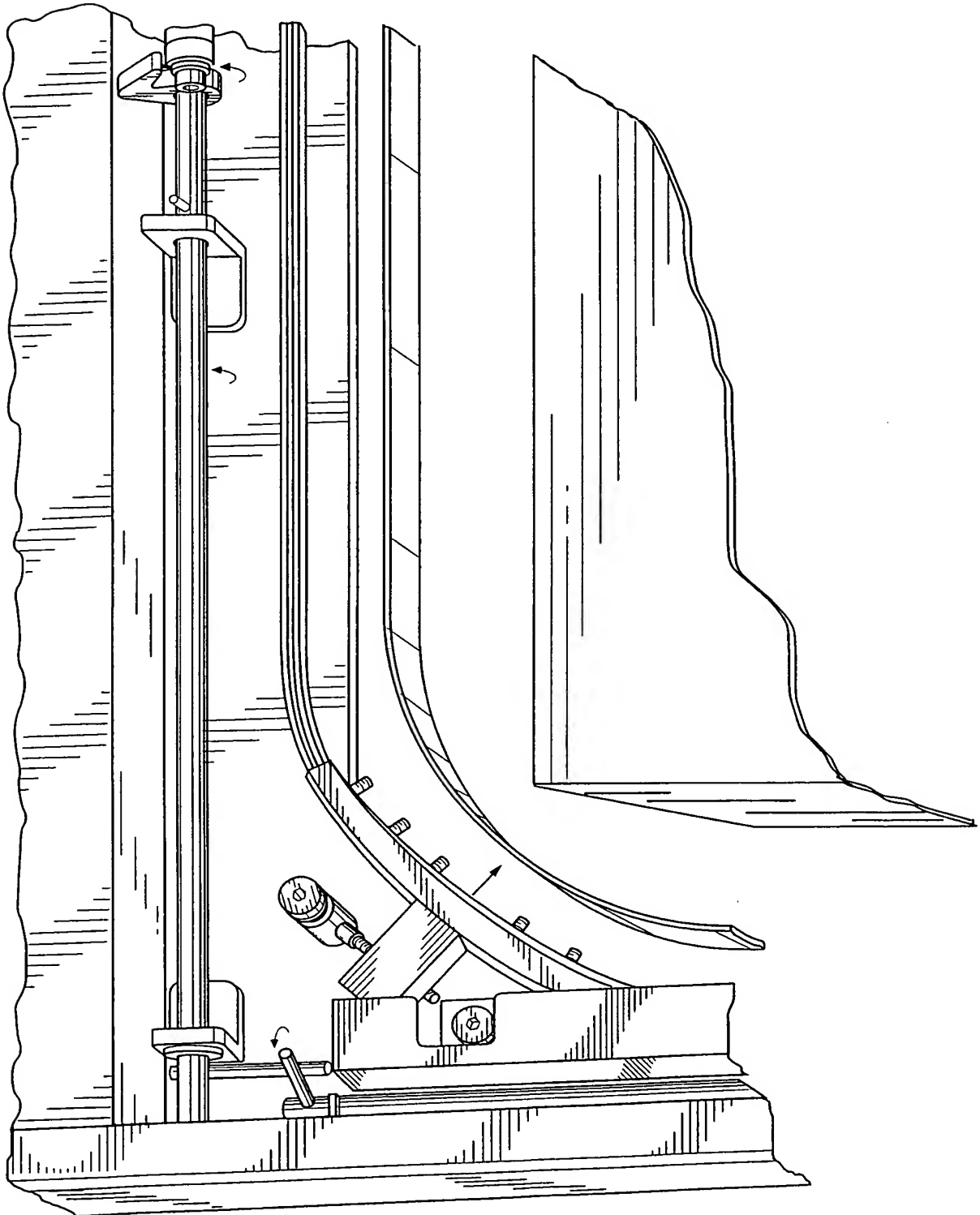
16/21

Fig. 23



17/21

Fig. 24



18/21

Fig. 25a

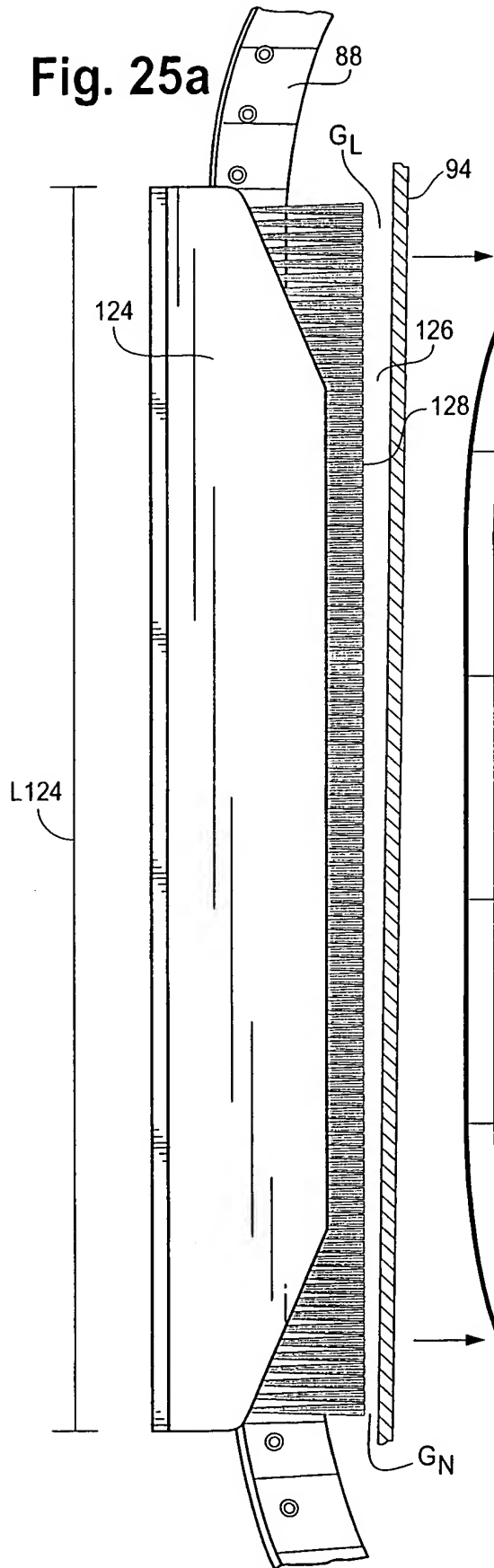
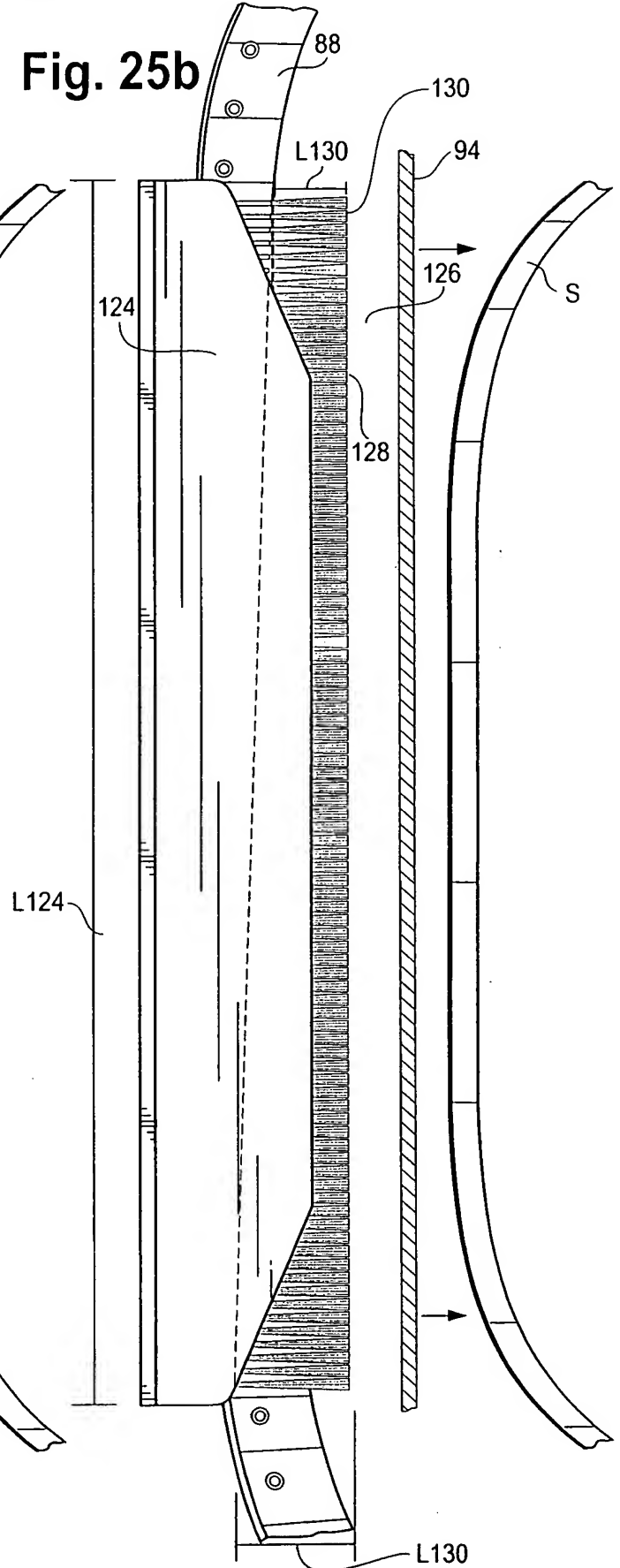
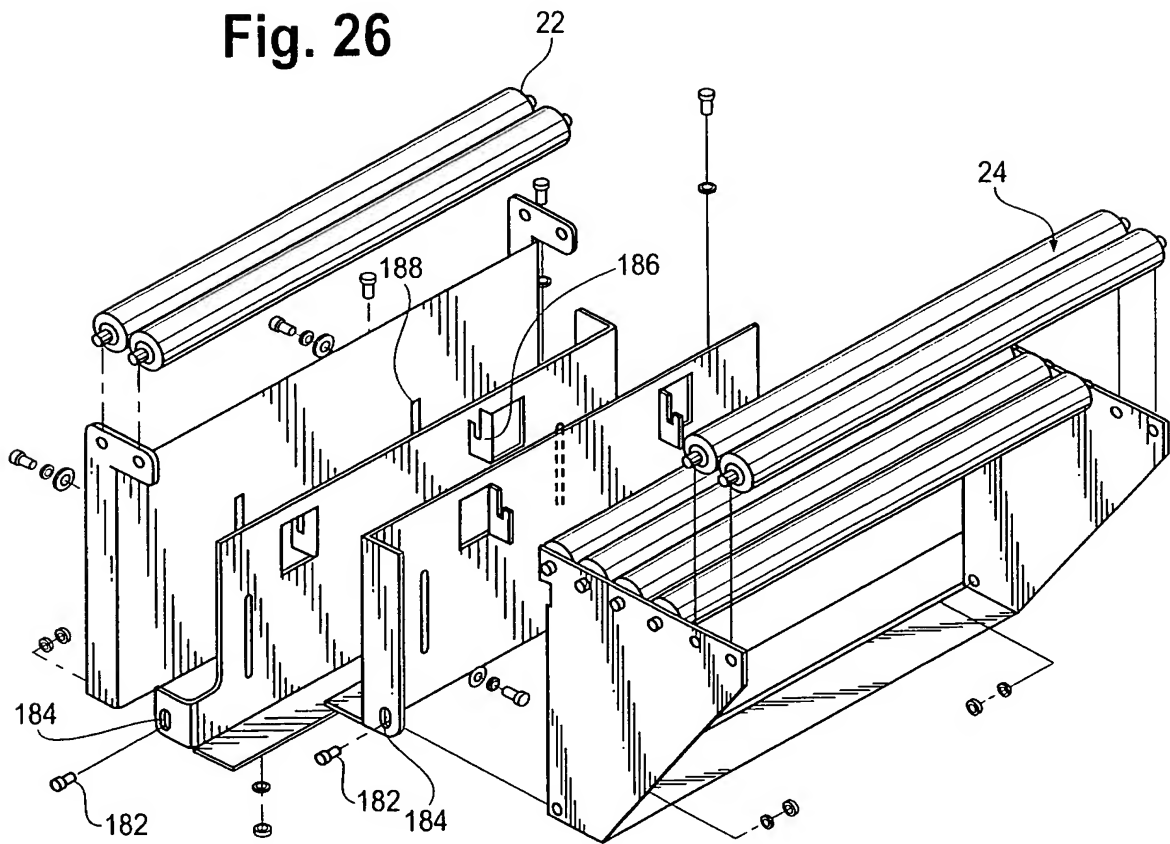


Fig. 25b



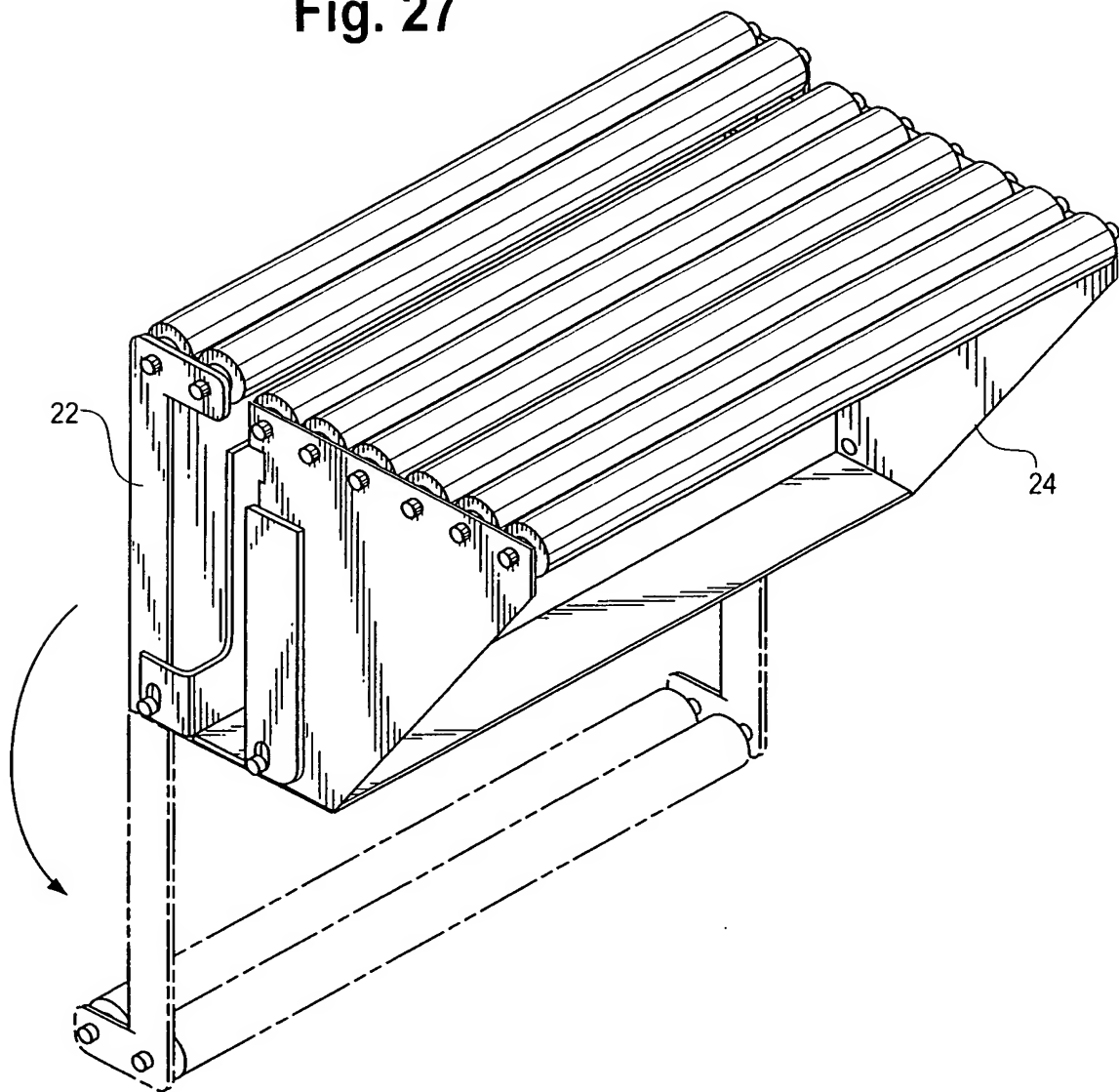
19/21

Fig. 26



20/21

Fig. 27



21/21

Fig. 28

